

УДК 622.83; 539.3

**ДЕФОРМИРОВАНИЕ И РАЗРУШЕНИЕ МАССИВОВ
ГОРНЫХ ПОРОД В ОКРЕСТНОСТИ ПОДЗЕМНЫХ
СООРУЖЕНИЙ ПРИ ВОЗДЕЙСТВИИ ВОЛН
ДЕФОРМАЦИЙ И НАПРЯЖЕНИЙ. НЕКОТОРЫЕ
КЛАССЫ МОДЕЛЬНЫХ ЗАДАЧ**

Журавков М. А., Круподеров А. В., Гайко Н. В.
(БГУ, г. Минск, Республика Беларусь)

Побудовано розв'язання задач про вплив зосередженого динамічного навантаження в пружному ізотропному просторі зі сферичною порожниною, коли напрям сили збігається з напрямом радіус-вектора точки прикладання, і у пружній ізотропній площині з круговим отвором при довільному напрямі сили.

The point force dynamic solutions were constructed for isotropic elastic space with spherical cavity, when the force direction is parallel to direction to radius-vector of point of attack and for isotropic elastic plane with circle cavity with arbitrary direction of force.

Изучение геомеханического состояния областей массивов горных пород в окрестности выработанного пространства, вследствие воздействия динамических наведенных нагрузок, обусловленных, в свою очередь, процессами естественного и техногенного происхождения, представляет собой класс актуальных задач современной геомеханики.

В данной статье рассматривается решение модельных задач по определению возмущенного напряженно-деформированного состояния (НДС) в массиве горных пород с выработанным пространством в случае действия в массиве динамической нагрузки, имеющей импульсный характер. Первопричины проявления воздействий такого типа могут иметь различную природу (ведение

горных работ с переменной скоростью, динамические явления, взрывные работы и др.).

Во многих случаях форму выработанного пространства можно аппроксимировать круговой (при плоской постановке задачи) или сферической поверхностью, а влиянием дневной поверхности можно пренебречь. В соответствии с принципом Сен-Венана, если источник возмущения в породном массиве находится на достаточном расстоянии от выработанного пространства, то его влияние на область породной толщи с выработкой можно моделировать воздействием сосредоточенной силы.

Рассмотрим модельные задачи о динамическом воздействии сосредоточенной силы в упругом изотропном пространстве со сферической полостью, когда направление силы совпадает с радиус-вектором ее точки приложения, и в упругой изотропной плоскости с круговым отверстием. Пусть радиус выработки составляет R единиц, а точка приложения силы расположена на расстоянии aR от центра выработки, где a – безразмерный параметр. Систему координат в трехмерном случае выбираем следующим образом: начало координат – в центре сферы, ось x_3 совмещена с радиус-вектором точки приложения силы, остальные две оси выбираются произвольно перпендикулярно третьей оси. Соответственно в двумерном случае: начало координат располагаем в центре отверстия, а ось x_1 совмещаем с радиус-вектором точки приложения силы, ось x_2 – перпендикулярно ей.

Система разрешающих уравнений для сформулированных модельных задач включает:

- уравнения равновесия Ламе:

$$\rho \frac{\partial^2 u_i}{\partial t^2} = (\lambda + \mu) \frac{\partial \theta}{\partial x_i} + \mu \Delta u_i + f(t) \delta_{i3} \delta(x_1) \delta(x_2) \delta(x_3 - aR), \quad i = 1, 2, 3 \quad (1)$$

для пространственного случая и

$$\rho \frac{\partial^2 u_i}{\partial t^2} = (\lambda + \mu) \frac{\partial \theta}{\partial x_i} + \mu \Delta u_i + f(t) \delta_{ij} \delta(x_1 - aR) \delta(x_2), \quad i = 1, 2 \quad (2)$$

для двумерного случая (индекс j указывает направление силы);

• граничные условия (записанные в сферических (r, φ, β) и полярных координатах (r, α)):

$$\begin{cases} \alpha_1 u_r |_{r=R} + \beta_1 \sigma_{rr} |_{r=R} = q_1(\beta), \\ \alpha_2 u_\beta |_{r=R} + \beta_2 \sigma_{\beta\beta} |_{r=R} = q_2(\beta), \end{cases} \quad (3)$$

$$\begin{cases} \alpha_1 u_r |_{r=R} + \beta_1 \sigma_{rr} |_{r=R} = q_1(\alpha), \\ \alpha_2 u_\alpha |_{r=R} + \beta_2 \sigma_{r\alpha} |_{r=R} = q_2(\alpha). \end{cases} \quad (4)$$

• на бесконечности должны выполняться условия затухания решения:

$$u_\beta, u_r \xrightarrow{r \rightarrow \infty} 0, n = 3; \quad u_\alpha, u_r \xrightarrow{r \rightarrow \infty} 0, n = 2. \quad (5)$$

• кроме того, принимаем, что начальные возмущения отсутствуют:

$$\begin{aligned} u_\beta |_{t=0} = 0, u_r |_{t=0} = 0, \dot{u}_\beta |_{t=0} = 0, \dot{u}_r |_{t=0} = 0, n = 3, \\ u_\alpha |_{t=0} = 0, u_r |_{t=0} = 0, \dot{u}_\alpha |_{t=0} = 0, \dot{u}_r |_{t=0} = 0, n = 2. \end{aligned} \quad (6)$$

Вначале строим решение задач о воздействии сосредоточенной силы в неограниченном пространстве (плоскости). Такие модельные задачи описываются уравнения (1), граничными условиями (3) и начальными условиями (4). Компоненты перемещений полученных решений таких задач обозначим как u_i^1 .

На следующем шаге рассматриваем задачу о распространении граничных возмущений от полости в неограниченном пространстве и плоскости при отсутствии массовых сил со специальным видом граничных условий. Компоненты перемещений этих решений в свою очередь обозначим как u_i^2 .

Данная задача описывается уравнениями:

$$\rho \frac{\partial^2 u_i^2}{\partial t^2} = (\lambda + \mu) \frac{\partial \theta^2}{\partial x_i} + \mu \Delta u_i^2, i = 1, 2, 3. \quad (7)$$

и граничными условиями (на примере плоской задачи):

$$\begin{cases} \alpha_1 u_r^2 |_{r=R} + \beta_1 \sigma_{rr}^2 |_{r=R} = q_1(\alpha) - \alpha_1 u_r^1 |_{r=R} - \beta_1 \sigma_{rr}^1 |_{r=R}, \\ \alpha_2 u_\alpha^2 |_{r=R} + \beta_2 \sigma_{\alpha\alpha}^2 |_{r=R} = q_2(\alpha) - \alpha_2 u_\alpha^1 |_{r=R} - \beta_2 \sigma_{r\alpha}^1 |_{r=R}. \end{cases} \quad (8)$$

К этой системе уравнений следует еще добавить ограничения в виде (3) и начальные условия.

В итоге решение исходной модельной задачи представляется в виде суперпозиции решений первой и второй задач:

$$u_i = u_i^1 + u_i^2. \quad (9)$$

Решение первой из дополнительных модельных задач является динамическим аналогом фундаментального решения Кельвина [1] и в общем виде может быть представлено следующим образом [2]:

$$u_i^1(x_1, x_2, x_3, t) = U_i^1(x_1, x_2, x_3 - aRt), n=3, \quad u_i^1(x_1, x_2, t) = U_i^1(x_1 - aR, x_2, t), n=2. \quad (10)$$

Здесь для случая $n = 3$

$$U_i^1(x_1, x_2, x_3, t) = f_+(t) * G_i(x_1, x_2, x_3, t),$$

$$G_i = \frac{1}{4\pi r \rho} \left(\left(\frac{x_i x_3}{c_1^2 r^2} \delta \left(t - \frac{r}{c_1} \right) + \frac{1}{c_2^2} \left(\delta_{i3} - \frac{x_i x_3}{r^2} \right) \delta \left(t - \frac{r}{c_2} \right) \right) - \right.$$

$$\left. - \frac{t}{r^2} \left(\delta_{i3} - \frac{3x_i x_3}{c_1^2 r^2} \right) \left(H \left(t - \frac{r}{c_1} \right) - H \left(t - \frac{r}{c_2} \right) \right) \right),$$

$$f_+(t) = f(t)H(t), \quad c_1 = \sqrt{\frac{\lambda + 2\mu}{\rho}}, \quad c_2 = \sqrt{\frac{\mu}{\rho}}, \quad H(t) - \text{функция Хевисайда.}$$

Вычисляя свертки, находим:

$$U_i^1 = -\frac{x_i x_3}{4\pi \rho r^3} \sum_{j=1}^2 (-1)^j \left(\frac{1}{c_j^2} f_+ \left(t - \frac{r}{c_j} \right) + \frac{3}{r^2} \left(f_2 \left(t - \frac{r}{c_j} \right) + \frac{r}{c_j} f_3 \left(t - \frac{r}{c_j} \right) \right) \right), \quad i = \overline{1, 2};$$

$$U_3^1 = \frac{1}{4\pi \rho r} \left(\frac{x_3^2}{c_1^2 r^2} f_+ \left(t - \frac{r}{c_1} \right) + \frac{1}{c_2^2} \left(1 - \frac{x_3^2}{r^2} \right) f_+ \left(t - \frac{r}{c_2} \right) + \right.$$

$$\left. + \frac{1}{r^2} \left(1 - \frac{3x_3^2}{r^2} \right) \sum_{j=1}^2 (-1)^j \left(f_2 \left(t - \frac{r}{c_j} \right) + \frac{r}{c_j} f_3 \left(t - \frac{r}{c_j} \right) \right) \right);$$

$$f_2(t) = f_+(t) \cdot t_+, \quad t_+ = tH(t), \quad f_3(t) = f_+(t) \cdot H(t).$$

При $n = 2$ для (10) имеем:

$$\begin{aligned}
 U_{ij}^1 = & -\frac{\delta_{ij}}{2\pi} \left(\frac{\delta_{ij}}{c_1 r^2} N_{11}(r, t) - \frac{\delta_{ij}}{c_2} \left(\frac{1}{r^2} N_{12}(r, t) + N_{-12}(r, t) \right) + \right. \\
 & \left. + \frac{x_i x_j}{r^2} \sum_{j=1}^2 \frac{(-1)^j}{c_j} \left(\frac{2}{r^2} N_{1j}(r, t) + N_{-1j}(r, t) \right) \right) \\
 N_{-1j}(r, t) = & H(c_j \tau - r) \int_{r/c_j}^t \frac{f(t-\tau)}{\sqrt{c_j^2 \tau^2 - r^2}} d\tau, \\
 N_{1j}(r, t) = & H(c_j \tau - r) \int_{r/c_j}^t f(t-\tau) \sqrt{c_j^2 \tau^2 - r^2} d\tau.
 \end{aligned} \tag{12}$$

Математическая постановка второй модельной задачи в новых координатах выглядит следующим образом:
 при $n = 3$

$$\begin{aligned}
 \eta^2 \frac{\partial^2 \tilde{u}_r^2}{\partial \tau^2} = & (\eta^2 - 1) \frac{\partial \tilde{\theta}}{\partial r} + \left(\Delta \tilde{u}_r^2 - \frac{2}{r^2} \left(\frac{1}{\sin \beta} \frac{\partial}{\partial \beta} (\tilde{u}_\beta^2 \sin \beta) \right) + \tilde{u}_r \right), \\
 \eta^2 \frac{\partial^2 \tilde{u}_\beta^2}{\partial \tau^2} = & (\eta^2 - 1) \frac{\partial \tilde{\theta}}{\partial \beta} + \left(\Delta \tilde{u}_\beta^2 + \frac{1}{r^2} \left(2 \frac{\partial \tilde{u}_r^2}{\partial \beta} - \frac{\tilde{u}_\beta^2}{\sin^2 \beta} \right) \right).
 \end{aligned} \tag{13}$$

$$\begin{cases}
 \tilde{\alpha}_1 \tilde{u}_r^2 |_{r=1} + \tilde{\beta}_1 \tilde{\sigma}_{rr}^2 |_{r=1} = \tilde{q}_1(\beta) - \tilde{\alpha}_1 \tilde{u}_r^1 |_{r=1} - \tilde{\beta}_1 \tilde{\sigma}_{rr}^1 |_{r=1}, \\
 \tilde{\alpha}_2 \tilde{u}_\beta^2 |_{r=1} + \tilde{\beta}_2 \tilde{\sigma}_{r\beta}^2 |_{r=1} = \tilde{q}_2(\beta) - \tilde{\alpha}_2 \tilde{u}_\beta^1 |_{r=1} - \tilde{\beta}_2 \tilde{\sigma}_{r\beta}^1 |_{r=1}, \\
 \tilde{\alpha}_1 = \alpha_1 R, \tilde{\beta}_1 = \beta_1 (\lambda + 2\mu), \\
 \tilde{q}_1(\beta) = q_1(\beta) - \tilde{\alpha}_1 \tilde{u}_r^1 |_{r=1} - \tilde{\beta}_1 \tilde{\sigma}_{rr}^1 |_{r=1}, \\
 \tilde{q}_2(\beta) = q_2(\beta) - \tilde{\alpha}_2 \tilde{u}_\beta^1 |_{r=1} - \tilde{\beta}_2 \tilde{\sigma}_{r\beta}^1 |_{r=1}.
 \end{cases}$$

$$\tilde{u}_\beta^2, \tilde{u}_r^2 \xrightarrow{r \rightarrow \infty} 0.$$

$$\tilde{u}_\beta^2 |_{\tau=0} = 0, \tilde{u}_r^2 |_{\tau=0} = 0, \tilde{\dot{u}}_\beta^2 |_{\tau=0} = 0, \tilde{\dot{u}}_r^2 |_{\tau=0} = 0.$$

и при $n = 2$

$$\eta^2 \frac{\partial^2 \tilde{u}_r^2}{\partial \tau^2} = (\eta^2 - 1) \frac{\partial \tilde{\theta}}{\partial r} + \left(\Delta \tilde{u}_r^2 - \frac{1}{r^2} \left(2 \frac{\partial \tilde{u}_\alpha^2}{\partial \alpha} + \tilde{u}_r^2 \right) \right),$$

$$\eta^2 \frac{\partial^2 \tilde{u}_\alpha^2}{\partial \tau^2} = (\eta^2 - 1) \frac{1}{r} \frac{\partial \tilde{\theta}}{\partial \beta} + \left(\Delta \tilde{u}_\alpha^2 + \frac{1}{r^2} \left(2 \frac{\partial \tilde{u}_r^2}{\partial \alpha} - \tilde{u}_\alpha^2 \right) \right).$$

$$\begin{cases} \tilde{\alpha}_1 \tilde{u}_r^2 |_{r=1} + \tilde{\beta}_1 \tilde{\sigma}_{rr}^2 |_{r=1} = \tilde{q}_1(\alpha), \\ \tilde{\alpha}_2 \tilde{u}_\alpha^2 |_{r=1} + \tilde{\beta}_2 \tilde{\sigma}_{r\alpha}^2 |_{r=1} = \tilde{q}_2(\alpha), \end{cases}$$

$$\begin{aligned} \tilde{\alpha}_1 &= \alpha_1 R, \tilde{\beta}_1 = \beta_1 (\lambda + 2\mu), \\ \tilde{q}_1(\alpha) &= q_1(\alpha) - \tilde{\alpha}_1 \tilde{u}_r^1 |_{r=1} - \tilde{\beta}_1 \tilde{\sigma}_{rr}^1 |_{r=1}, \\ \tilde{q}_2(\alpha) &= q_2(\alpha) - \tilde{\alpha}_2 \tilde{u}_\alpha^1 |_{r=1} - \tilde{\beta}_2 \tilde{\sigma}_{r\alpha}^1 |_{r=1}. \end{aligned} \quad (14)$$

$$\tilde{u}_\alpha^2, \tilde{u}_r^2 \xrightarrow{r \rightarrow \infty} 0.$$

$$\tilde{u}_\alpha^2 |_{\tau=0} = 0, \tilde{u}_r^2 |_{\tau=0} = 0, \dot{\tilde{u}}_\alpha^2 |_{\tau=0} = 0, \dot{\tilde{u}}_r^2 |_{\tau=0} = 0.$$

Процедура построения решения сформулированных математических задач (13) описана в [2]. В свою очередь, преобразование Лапласа от решения систем (13) имеет следующий вид ($\gamma_1 = 1, \gamma_2 = \eta$):

При $n = 3$

$$u_r^{2L} = \sum_{n=0}^{\infty} \left(\frac{1}{r^{n+2}} \sum_{j,k=1}^2 U_{nj}^L(r,s) \tilde{q}_{kn}^L(s) e^{-\gamma_j(r-1)s} \right) P_n(\cos \beta), \quad (15)$$

$$u_\beta^{2L} = -\sin \beta \sum_{n=1}^{\infty} \left(\frac{1}{r^{n+2}} \sum_{j,k=1}^2 V_{nj}^L(r,s) \tilde{q}_{kn}^L(s) e^{-\gamma_j(r-1)s} \right) C_{n-1}^{3/2}(\cos \beta). \quad (16)$$

$$\tilde{q}_1^L(s) = \sum_{n=0}^{\infty} \tilde{q}_{1n}^L(s) P_n(\cos \beta), \quad \tilde{q}_2^L(s) = -\sin \beta \sum_{n=1}^{\infty} \tilde{q}_{2n}^L(s) C_{n-1}^{3/2}(\cos \beta).$$

Здесь $P_n, C_{n-1}^{3/2}$ – полиномы Лежандра и Гегенбаура (остальные обозначения см. в [2]).

При $n=2$

$$u_r^{2L} = \frac{1}{r} \sum_{n=-\infty}^{\infty} \left(\sum_{j,k=1}^2 u_{nj}^L(\gamma_j r s) Y_{jk}(s) \tilde{q}_{kn}^L(s) \right) e^{in\alpha}, \quad (17)$$

$$u_{\alpha}^{2L} = \frac{1}{r} \sum_{n=-\infty}^{\infty} \left(\sum_{j,k=1}^2 v_{nj}^L(\gamma_j r s) Y_{nj k}(s) \tilde{q}_{kn}^L(s) \right) e^{in\alpha}. \quad (18)$$

$$\tilde{q}_1^L(s) = \sum_{n=-\infty}^{\infty} \tilde{q}_{1n}^L(s) e^{in\alpha}, \quad \tilde{q}_2^L(s) = \sum_{n=-\infty}^{\infty} \tilde{q}_{2n}^L(s) e^{in\alpha}.$$

Остальные обозначения в [2].

Процедура получения решений второй из сформулированных модельных задач выглядит следующим образом. Сначала находятся коэффициенты рядов Фурье $\tilde{q}_{kn}^L(t)$. Аналитическое получение этих коэффициентов для плоской задачи является весьма затруднительным, поэтому вначале определяются численные значения коэффициентов в точках, а затем выполняется интерполяция. Для задачи для пространства можно получить аналитические выражения коэффициентов с помощью систем компьютерной алгебры. Далее производится обращение преобразования Лапласа коэффициентов при $\tilde{q}_{kn}^L(t)$ в формулах (15) и (16). Опять же для плоского случая аналитическое обращение преобразования Лапласа получить невозможно, поэтому производится приближенное обращение с помощью формул, указанных в [3]. В итоге, на основании свойств преобразования Лапласа ([2]), полное обращение формул (15) и (16) производится с помощью вычисления сверток.

При решении приведенных далее задач используются безразмерные параметры.

Пример 1. Рассмотрим действие на массив со сферической полостью сосредоточенной силы, функциональная зависимость которой от времени представлена следующим выражением:

$$f(\tau) = 10^{12} ((4 + (-16 + 16(t - 1/2))(t - 1/2))t^2)(H(\tau) - H(\tau - 1)).$$

В качестве исходных данных были взяты величины, соответствующие массиву калийных солей: радиус полости $R = 3\text{ м}$; упругие приведенные свойства массива $E = 10^{10} \text{ Па}$, $\nu = 0,3$; плотность среды $\rho = 2200 \text{ кг/м}^3$. Точка приложения силы находится на расстоянии 10 радиусов сферы от ее центра. В данном случае рассмотрим случай полости с жесткой вставкой, т.е. случай, когда материал «внутренней заделки» имеет жесткость, в несколько

раз превышающую жесткость самого массива. В этом случае можно принять, что выполняются условия жесткого закрепления на границе сферы. В качестве исходных данных взяты такие же значения, что и в первом примере.

В рассматриваемом случае, согласно исходным данным, $\alpha_1 = \alpha_2 = 1$, $\beta_1 = \beta_2 = 0$, $q_1 \equiv 0$, $q_2 \equiv 0$.

На рис. 1 приведены картины напряжений на границе полости (первые три графика) и на расстоянии двух радиусов от центра полости (следующие три графика) при различных значениях угла β .

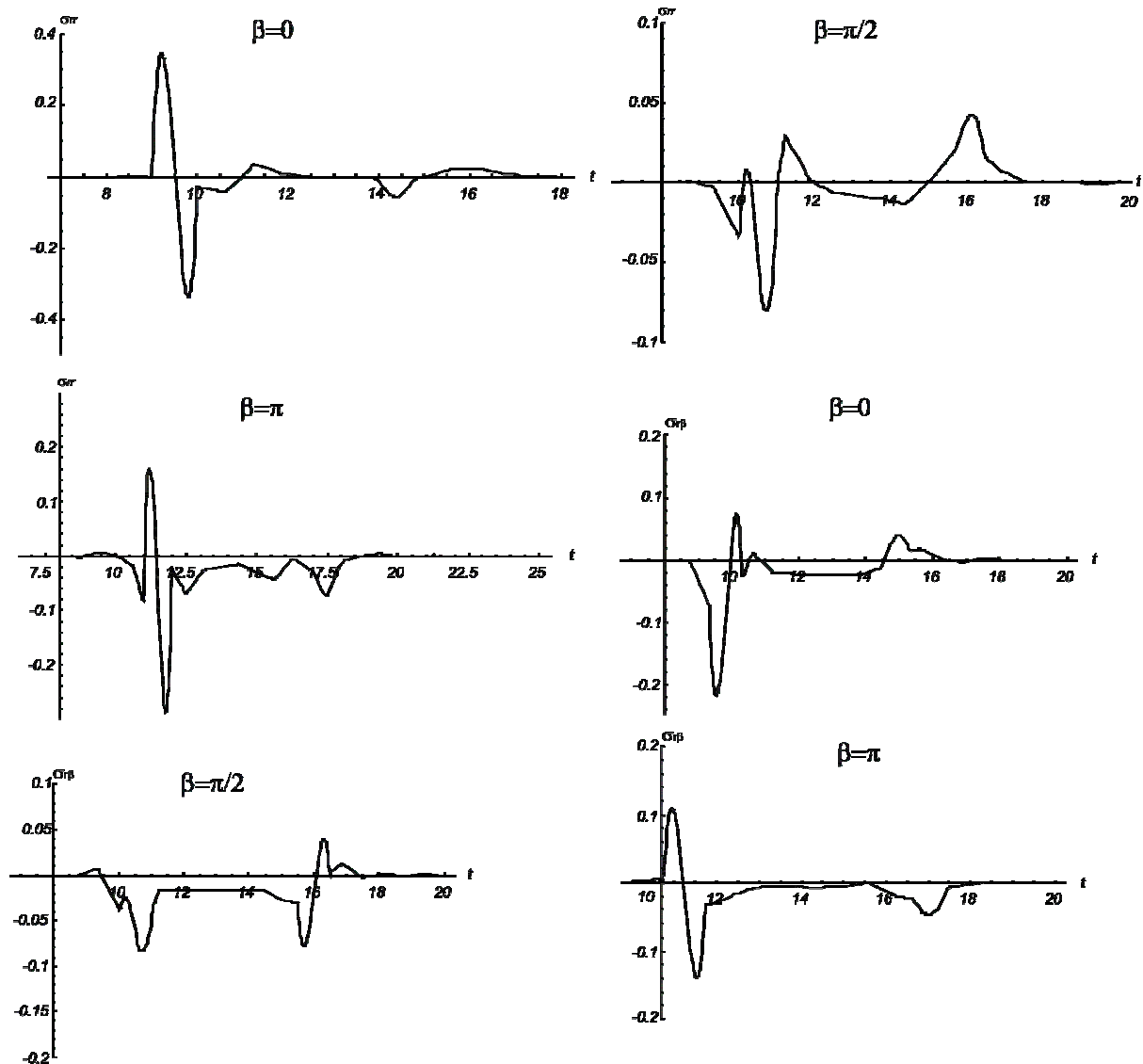


Рис. 1. Графики напряжений в массиве

Исследуем возможность появления зон разрушения в массиве с выработанным пространством при указанном виде силового воздействия. Существуют различные типы критериев динамического разрушения [4]. В данном случае используем обобщение простейшего критерия $\sigma_p = const$ в следующем виде: $\max\{\sigma_1, \sigma_2, \sigma_3\} = const$. В качестве указанной константы возьмем статический предел на растяжение, его безразмерная величина равняется 0,00032.

Воспользуемся указанным критерием применительно к результатам расчетов второй модельной задачи. При $\beta = 0$ напряжение σ_{rr} является главным. На рис. 2 показаны график напряжения σ_{rr} на контуре выработки и константа $1000\sigma_p$.

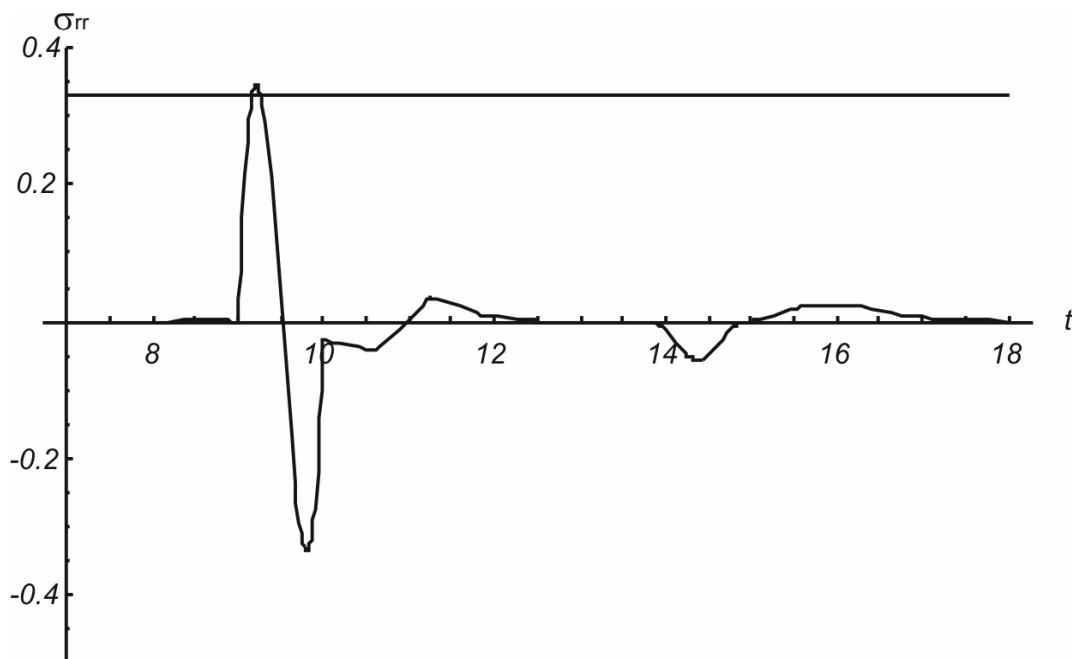


Рис. 2. Нарушение критерия разрушения

Таким образом, можно сделать вывод, что при величине нагрузки, в тысячу раз меньшей величины нагрузки, взятой в примере, т.е. 10^9 Н на контуре выработки произойдет разрушение. Проанализировав напряженное состояние массива в области между источником разрушения и выработкой, можно заключить, что разрушение также будет происходить и в этой области.

Очевидно, что даже рассмотренные здесь модельные задачи имеют широкую сферу применения. Современные масштабы и характер инженерной деятельности в области освоения и эксплуатации недр обуславливают серьезные нарушения динамического равновесия окружающей среды. Поэтому построение моделей, адекватно описывающих данные явления, является весьма важной задачей.

СПИСОК ССЫЛОК

1. Журавков М. А. Фундаментальные решения теории упругости и некоторые их применения в геомеханике, механике грунтов и оснований/ М. А. Журавков – Минск: БГУ, 2008. С 50-56.
2. Горшков А. Г. Волны в сплошных средах/ А. Г. Горшков [и др.] – Москва: Физматлит, 2004.
3. J. Abate A unified framework for numerically inverting Laplace transform/J.Abate, W. Whitt // [Электронный ресурс]. – 2006. – Режим доступа: <http://www.columbia.edu/~ww2040/JoC.pdf>. – Дата доступа: 13.05.2009/
4. Новиков С. А. Разрушение материалов при воздействии интенсивных ударных нагрузок / С. А. Новиков // Соросовский образовательный журнал. 1999, № 8. С 116-121.